

## ИССЛЕДОВАНИЕ РАЗОГРЕВОВ ПРИ ХОЛДНОПЛАМЕННОМ ОКИСЛЕНИИ БУТАНОВ

T. P. Симонян, A. A. Манташян

(Ереван)

Исследование явления холодных пламен, сопровождающего медленное окисление углеводородов, на данном этапе направлено на установление химического механизма реакции в этом особом режиме протекания процесса. В [1, 2] получены данные об образовании радикалов и закономерностях накопления их в режиме холднопламенного окисления, позволившие конкретизировать представления о причинах возникновения и затухания холодных пламен. Они подтверждают также представления о том, что на развитие и затухание пламени существенное влияние оказывают тепловыделения. С этой точки зрения представляются важными сведения о распределении локальных тепловыделений по сечению реактора при прохождении холодного пламени. В настоящей работе изучалось холднопламенное окисление *н*- и *изо*-бутана.

Опыты проводились в статической системе (при  $C_4H_{10} : O_2 = 1 : 1$ ) в цилиндрических реакторах, выполненных из кварца и молибденового стекла, промытых водным раствором НФ. Изменение давления реагирующей смеси контролировалось с помощью стеклянного мембранных манометра. Две дифференциальные термопары (хромель — алюминий,  $d_{сп} = 0,2$  мм) имели общий нулевой спай, расположенный на наружной стенке реактора, и через делитель напряжения соединялись со входом самописца. В контрольных опытах использовались термопары с  $d_{сп} = 0,12$  мм. Заметных отличий не обнаружено. Поверхность термопар пассивировалась по методике [3]. Для получения температурного профиля по диаметру реактора один из спаев закреплялся в одной точке реактора, а другой перемещался по оси сечения реактора от одной стенки по другой. Реактор помещался в горизонтальную печь, имеющую смотровые окна сбоку и с торца. Основные результаты получены в стеклянном сосуде.

Области холднопламенного окисления *н*- и *изо*-бутанов в реакторе диаметром 6 см и *изо*-бутана в реакторе диаметром 11 см представлены на рис. 1. Данные по *н*-бутану согласуются с имеющимися в литературе [4]. Область возникновения холодных пламен в *изо*-бутане сильно смещена в сторону высоких давлений. Увеличение диаметра реактора с 6 до 11 см сильного влияния на области возникновения холодных пламен не оказывало (см. рис. 1, б, в).

Существует мнение [5, 6], что холодное пламя представляет собой волну свечения, распространяющуюся из центра реактора к его периферии. В настоящих опытах, однако, на фоне общей люминесценции, предшествующей вспышке, в «верхней» части реактора возникал яркосветящий и очень четкий плоский фронт пламени, который плавно опускался вниз и постепенно угасал примерно в середине реактора. Прохождение пламени сопровождалось возрастанием давления и температуры. Типичные кривые изменения температуры в режиме холднопламенного окисления *изо*-бутана при  $T_n = 310^\circ C$  и  $p_n = 246$  торр в двух точках реактора представлены на рис. 2. Аналогичная картина наблюдается и в случае нормального бутана. Изменение температуры при прохождении вспышки IV незначительно по сравнению с предшествующими пламенами. В этом случае процесс сопровождается лишь общим свечением реагирующей смеси.

На основании данных для различных точек по вертикальной оси реактора, аналогичных представленным на рис. 2, построены профили разогревов по вертикальной оси

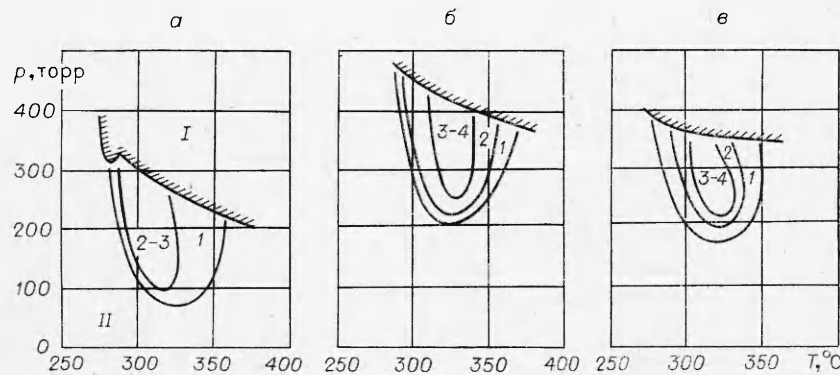


Рис. 1. Области холдных пламен (цифрами показано число холдных пламен).

а)  $n-C_4H_{10} : O_2 = 1 : 1$ , реактор диаметром 6 см; б)  $изо-C_4H_{10} : O_2 = 1 : 1$ ,  $d = 6$  см;  
в)  $изо-C_4H_{10} : O_2 = 1 : 1$ ,  $d = 11$  см. I — двухстадийное воспламенение; II — медленная реакция.

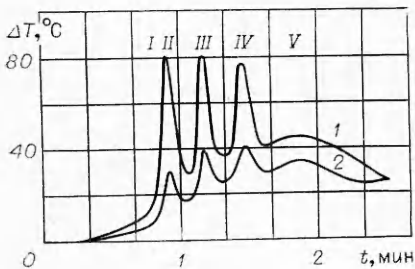


Рис. 2. Динамика изменения температуры на расстоянии 2 (1) и 7,6 см (2) от «верхней» стенки.

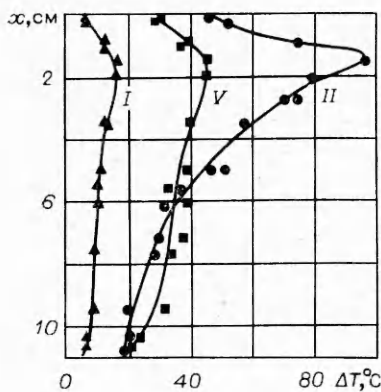


Рис. 3. Температурный профиль на вертикальной оси сечения реактора ( $d=11$  см).

распределение температур по сечению при прохождении пламени остается таким же, как и до него. Однако разогрев относительно стенки достигает  $90-95^{\circ}$  в точке на 1,5 см ниже «верхней» стенки (см. рис. 3). Симметрично изменению  $\Delta T$  по вертикальной оси вниз меняется и яркость фронта пламени. Распределение температур по горизонтальной оси реактора в момент прохождения холодного пламени не превышает  $5-7^{\circ}$ .

Опыты показали, что уменьшение диаметра реактора на 3 см не привело к изменению наблюдаемых закономерностей. На основании полученных кинетических кривых разогревов оценена скорость опускания фронта пламени ( $4-7$  см/с). Полученные результаты свидетельствуют, что следует ожидать и соответствующего распределения концентраций радикалов по сечению реактора.

Поступила в редакцию  
23/IX 1977

#### ЛИТЕРАТУРА

1. П. С. Гукасян, А. А. Манташян, Р. А. Саядян. ФГВ, 1976, **12**, 5, 789.
2. А. А. Манташян, П. С. Гукасян. Докл. АН СССР, 1977, **234**, 379.
3. В. В. Азатян, А. А. Шавард и др. Докл. АН СССР, 1975, **224**, 841.
3. J. Bradwell. Fifth Symposium on Combustion, 1954.
5. Б. В. Айвазов, М. Б. Нейман. ЖФХ, 1936, **8**, 88.
6. J. N. Bradley, G. A. Jones et al. Tenth Symposium on Combustion, 1965.

#### К ВОПРОСУ ОБ ОТРЫВЕ ЭЛЕКТРОННОЙ ТЕМПЕРАТУРЫ УГЛЕВОДОРДНОГО ПЛАМЕНИ В РЕЗУЛЬТАТЕ СОУДАРЕНИЙ ВТОРОГО РОДА

Т. С. Бондаренко, Ю. С. Иващенко

(Красноярск)

В последнее время получило развитие представление о возможности отрыва электронной температуры углеводородного пламени от газовой за счет соударений второго рода электронов с неравновесно-возбужденными колебательными уровнями газовых молекул. В основополагающей работе [1] дан количественный анализ степени отрыва